

## شیوه سازی الگوی توزیع رطوبت و تبخیر در آبیاری قطره‌ای زیر سطحی در یک خاک شنی

شهرام کریمی گوغری<sup>۱\*</sup>، محسن ایراندوست<sup>۲</sup>، محمد حسینی نیا<sup>۳</sup>

تاریخ دریافت: ۹۰/۰۲/۰۳ تاریخ پذیرش: ۹۰/۱۱/۱۹

### چکیده

علاوه به استفاده از سامانه‌های آبیاری زیر فشار به دلیل کمبود منابع آب و بالا بودن بازده‌ی مصرف آب در این سامانه‌ها، در سالهای اخیر به صورت فزاینده‌ای افزایش یافته است. از جمله این روش‌ها، که اخیراً در مناطق خشک ایران جهت آبیاری باغهای پسته مورد استفاده قرار می‌گیرد، سامانه‌ی آبیاری قطره‌ای زیر سطحی است. طراحی و مدیریت صحیح این سامانه‌ها مستلزم آگاهی از نحوه توزیع رطوبت در خاک است. در این تحقیق کارایی شبیه‌عددی HYDRUS-2D، که قادر به شبیه‌سازی حرکت آب، املاح، و گرمای در شرایط اشباع و غیر اشباع می‌باشد، جهت شبیه‌سازی توزیع رطوبت در خاک در زمانهای مختلف زیر قطره چکان زیر سطحی واقع در عمق ۳۰ سانتی‌متری در مزرعه‌ای با خاک شنی، بررسی شده است. همچنین، تأثیر متغیرهای مختلف از جمله مقادیر متفاوت بده (۰.۲ و ۰.۴ لیتر در ساعت) و کاربرد خاکپوش (خاکپوش پلاستیک) بر الگوی رطوبت نیز مورد بررسی قرار گرفت. نتایج نشان دادند که شبیه‌توانسته است روند تغییرات را مشابه آنچه در نیمرخ خاک رخداده شبیه سازی کند ( $R^2=0.92$ )، البته با حداقل خطای RMSE=۰.۱۹۲ به ازای ۲۴ ساعت پس از پایان آبیاری. همچنین، افزایش در مقدار بده به ازاء یک حجم ثابت آب آبیاری نه تنها باعث افزایش توزیع رطوبت در خاک نشد، بلکه به دلیل کاهش ابعاد ناحیه‌ی رطوبتی منجر به کاهش فاصله لوله فرعی و بالا رفتن هزینه نصب سامانه گردید. وجود پوشش پلاستیکی به عنوان خاکپوش، با توجه به نوع بافت خاک منطقه توانست با ثابت نگه داشتن تغییرات رطوبت و کاهش اختلاف مکش در لایه‌های سطحی و عمقی مانع از هدر رفتن آب از طریق تبخیر گردد.

**واژه‌های کلیدی:** الگوی رطوبت، آبیاری قطره‌ای زیر سطحی، HYDRUS-2D، بده، خاکپوش.

-۱

-۲

-۳

\* - نویسنده مسئول:

قطره چکانهای زیر سطحی، تحلیل جریان در جزء حجمی منفرد کافی است. تشابه بین داده های اندازه گیری و شبیه سازی شده با کاربرد نرم افزار HYDRUS-2D نیز بر این نکته اشاره دارد که در طراحی صحیح سامانه های آبیاری و انتخاب روش مناسب در مدیریت کود آبیاری باید ویژگی های آبی خاک و انتقال املاح را مدنظر قرار داد، و شبیه HYDRUS می تواند نرم افزاری مفید جهت تخمین این فراسنجهای باشد. اسکنگر و همکاران (۲۰۰۴)، با به کار گیری سه بدھی مختلف آب و قرار دادن قطره چکان در ژرفای ۶ سانتی متری در خاک مزرعه ای با بافت شنی متوسط به ارزیابی دقت شبیه سازی های HYDRUS-2D، در نفوذ و توزیع مجدد آب در خاک پرداختند. آنها نیز معتقدند که شبیه HYDRUS-2D در بررسی توزیع رطوبت در خاک تطابق بالایی را با واقعیت دارد.

لازارو ویج و همکاران (۲۰۰۵) معتقدند که مقدار آب خروجی از روزنہی قطره چکانهای زیر سطحی از عوامل زیادی مانند فشار در روزنہ، اندازه و هندسه های مجرأ و ویژگی های آبی خاک اطراف آن تاثیر می پذیرد. لذا در این تحقیق با به کار گیری شبیه عددی HYDRUS-2D، و سه مقدار بده در دو نوع خاک واقعه در مزرعه آراوای فلسطین اشغالی به فراهم کردن شرایطی که می توانند این فرایندها را با در نظر گرفتن ویژگی های منبع توصیف کند، پرداختند. در نهایت آنها بر مطابقت بالای بین میزان فشار اندازه گیری شده در بررسی های آزمایشگاهی و شبیه مزبور اشاره کردند. کوک و همکاران (۲۰۰۶) جهت بررسی الگوی رطوبتی خاک با استفاده از سه بافت خاک، دو نوع قطره چکان سطحی و زیر سطحی، و راه حل عددی HYDRUS-2D روش مذکور تخمین قابل قبولی را از جبهه رطوبتی عرضه می دارند، اما روش عددی HYDRUS-2D توانایی سریعتری جهت تعیین شکل جبهه رطوبتی داشت. پراونزانو (۲۰۰۷) به بررسی الگوی توزیع رطوبت به وسیله های سامانه های آبیاری قطره ای زیر سطحی در خاک شنی متوسط با استفاده از شبیه HYDRUS-2D پرداخت. وی بر تناسب بالای نرم افزار عددی HYDRUS-2D جهت شبیه سازی فرایند نفوذ اطراف قطره چکان در مدت آبیاری اشاره کرد. پاتل و راجپوت (۲۰۰۸) به ارزیابی

#### مقدمه

همراه با توسعه ای اقتصادی و اجتماعی در نواحی خشک، و افزایش نیاز به منابع آبی جدید، نیاز به سامانه های به روز با قابلیت افزایش بازدهی مصرف آب نیز فزونی می یابد (ابوزید و همکاران، ۱۹۹۷). دانش و فن آبیاری قطره ای می تواند با مهار کردن وسیع بر اندازه آب آبیاری، کودها، و آفت کشها، به تعدل این چالش کمک کند (اسکنگر و همکاران، ۲۰۰۴). یکی از سامانه های به روز آبیاری قطره ای، که در بسیاری از نقاط جهان برای آبیاری فراورده های کشاورزی متفاوت استفاده می شود، سامانه های آبیاری قطره ای زیر سطحی (subsurface drip irrigation system، SDIS) است. آبیاری قطره ای با قطره چکانهای مدفون در زیر سطح خاک به واسطه های کاهش رطوبت در سطح تلفات بالقوه ای آب را در سامانه های آبیاری کاهش می دهد. با استفاده از این سامانه ها کشاورزان می توانند به بازدهی مصرف آب بالاتر، کاهش به خطر افتادن کیفیت آب، امکان بیشتر در استفاده از آبهای با کیفیت پایینتر، و افزایش یکنواختی آب کاربردی دست یابند (المالگلو و دیامن توبولوز، ۲۰۰۹). طراحی درست این سامانه ها نیاز به اطلاعات کافی از نحوه توزیع جریان آب در خاک به صورت افقی و عمودی دارد. این نوع اطلاعات در تعیین ژرفای نصب لوله های آبده، فاصله های آنها از یکدیگر، قطر روزنہی قطره چکانهای و چگونگی تنظیم شدت جریان خروجی از گسیلندها نقش مهمی را ایفا می کنند (آکار و همکاران، ۲۰۰۹). از آنجا که انجام آزمایش برای تشخیص شکل توزیع رطوبت در داخل خاک بسیار سخت و وقت گیر می باشد، استفاده از شبیه های تحلیلی، که با داشتن عوامل آبی خاک و معادلات حرکت آب در آن می توانند تخمین قابل قبولی را از توزیع رطوبت در خاک ارائه دهند، به وسیله های محققین زیادی توصیه شده است. آسولین (۲۰۰۲) در بررسی تاثیر سه اندازه ی بدھی قطره چکانها بر جنبه های مختلف برنامه های آب در آبیاری قطره ای در مزرعه آزمایشی بت داگان فلسطین اشغالی با خاک شنی - متوسط به تطابق بین مشاهدات و شبیه سازی انجام شده با کاربرد نرم افزار HYDRUS-2D اشاره کرد. کوت و همکاران (۲۰۰۳) HYDRUS-2D معتقدند که برای شبیه سازی الگوی رطوبتی و انتقال املاح

$C^{\circ}$  و  $37 C^{\circ}$  -۱ می باشد میانگینهای بارش و تبخیر بالقوه‌ی سالانه نیز به ترتیب  $138$  و  $3050$  میلیمتر است. خاک منطقه مورد مطالعه شنی، شامل  $82/3$  درصد شن،  $7/7$  درصد لای و  $10$  درصد رس بود. برای تعیین ساختمان خاک از ژرفاهای  $0-15$ ،  $15-30$ ،  $30-45$ ،  $45-60$ ،  $60-75$  و  $90-105$  سانتی متر نمونه برداری صورت گرفت. مقادیر درصدهای شن، لای و رس در تمام لایه‌های مذبور تقریباً یکسان بود و هیچ غیر یکنواختی در آنها مشاهده نشد. منحنی مشخصه‌ی رطوبتی خاک نیز با کاربرد دستگاه صفحات فشاری و اندازه گیری رطوبت در مکشهاهی  $1/10$  تا  $15$  بار به دست آمد (جدول ۱). چگالی ظاهری خاک در چندین محل در ژرفای  $30$  سانتی متری با استفاده از نمونه بردار خاک با قطر داخلی  $3$  سانتی متر تعیین گردید. از میانگین  $1/47$  گرم بر سانتی متر مکعب جهت تبدیل درصد رطوبت وزنی به درصد رطوبت حجمی استفاده شد.

جهت اجرای سامانه‌ی آبیاری قطره‌ای زیر سطحی و قرارگیری قطره چکانها در ژرفای  $30$  سانتی متر از سطح خاک، نهرهایی تا ژرفای  $30$  سانتی متر و طول تقریبی  $10$  متر برای خواباندن لوله‌ها حفاری شد. فاصله‌ی قطره چکانها  $1$  متر در نظر گرفته شد و روی نهرها با خاک حاصل از حفاری پر گردید. چهار آزمایش آبیاری قطره‌ای زیر سطحی شامل  $2$  آزمایش با قطره چکان با بدنه  $2$  لیتر بر ساعت با خاکپوش و بدون آن، و  $2$  آزمایش با قطره چکان با بدنه  $4$  لیتر در ساعت با خاکپوش و بدون آن صورت گرفت. که جهت تنظیم اندازه بدنه در طی هر آبیاری، خاک دو طرف قطره چکان حفاری، و اندازه‌های بدنه حجمی با استفاده از ظرف مدرج با دقت  $10$  سانتی متر مکعب مشخص شد. این اندازه گیریها اندازه بدنه  $2$  و  $4$  لیتر بر ساعت را برای قطره چکانهای مذکور تأیید کردند. از خاکپوش پلاستیکی نیز جهت بررسی تأثیر میزان تبخیر بر الگوی رطوبت در سطح خاک استفاده شد. از آبی با  $pH=7/5$  و  $EC=0/750$   $ds/cm$  جهت آبیاری استفاده شد؛ سایر فراسنجهای کیفی آب در جدول شماره  $2$  ارائه گردیده‌اند. جهت تعیین درصد رطوبت حجمی خاک از دستگاه بازتاب زمانی امواج (TDR) (نمونه‌ی ترایم-افام، عرضه شده بهوسیله‌ی شرکت آمیکو) استفاده

نرم‌افزار HYDRUS-2D جهت شبیه‌سازی حرکت آب در خاک با به کارگیری  $6$  ژرفای متفاوت کارگذاری قطره چکانها و سه سطح آبیاری پرداختند. ایشان اظهار داشتند که توزیع رطوبت خاک در بررسیهای صحرایی و شبیه‌سازی در مراحل مختلف رشد توافق نزدیکی داشت، و اختلافها به صورت آماری ناچیز بودند. سیال و اسکنگ  $(200/9)$  به بررسی الگوی پخش آب ایجاد شده با لوله‌های سفالی به ازاء چهار ارتفاع فشار متفاوت در مزرعه آزمایشی واقع در پاکستان پرداختند. در مقایسه داده‌های انداره‌گیری شده در مزرعه و شبیه‌سازی شده با نرم‌افزار HYDRUS-2D با سه مقیاس آماری نتایج مشابهی به دست آورده‌اند که بیانگر کارایی خوب شبیه در تخمین الگوی رطوبتی می‌باشد. کنسلوس و سیمیونک  $(201/0b)$  به ارزیابی توانایی سه شبیه تحلیلی WetUp، عددی HYDRUS-2D، تجربی کنسلوس و همکاران  $(200/8)$  در تخمین ابعاد ناحیه خیس شده زیر سامانه آبیاری قطره‌ای زیر سطحی در خاک متوسط-رسی پرداختند. نتایج حاصل از این تحقیق نشان دادند که HYDRUS-2D پیشگوییهای بهتری را از توزیع رطوبت در اطراف قطره چکانها ارائه می‌کند، و دقت بالاتری نسبت به دیگر شبیه‌های ارزیابی شده دارد.

تحقیقات فوق نشان می‌دهند که نرم‌افزار HYDRUS-2D توانایی خوبی در پیش‌بینی و شبیه‌سازی جبهه رطوبتی در آبیاری قطره‌ای دارد ولی تاثیر همزمان پدیده تبخیر بر این توزیع رطوبت با کاربرد شبیه مذکور بررسی نشده است. هدف از این تحقیق، بررسی توانایی نرم‌افزار HYDRUS-2D در شبیه‌سازی توزیع رطوبت در خاک از یک منبع نقطه‌ای مدفون شده با به کارگیری بدنه‌های مختلف و تأثیر خاکپوش بر الگوی توزیع رطوبت، می‌باشد.

## مواد و روشها

تحقیق حاضر در مزرعه ای واقع در شهر کرمان که فاقد پوشش گیاهی است، انجام شد. این مکان در مختصات  $N 30/28^{\circ}$  و  $E 57/07^{\circ}$  و ارتفاع تقریبی  $1790$  متر از سطح دریا واقع شده و دارای اقلیم گرم و خشک با تابستانهای گرم و زمستانهای سرد و خشک می‌باشد. میانگین بیشترین و کمترین دما در طول سال به ترتیب

جهت عمودی از  $\theta = 0.12$  در سطح خاک تا  $\theta = 0.04$  در انتهای نیمرخ خاک به صورت خطی در نظر گرفته شد. در مدت آبیاری، شرایط مرزی جریان متغیر برای قطره چکان استفاده شد که در پایان هر رویداد آبیاری، مرز لوله شرایط مرزی جریان صفر را می پذیرد. برای بقیه ی قسمت مرز چپ و مرزهای راست و پایین هم هنگام آبیاری و هم بعد از آبیاری شرایط مرزی جریان صفر استفاده شد. از آن جا که دامنه ی جریان محاسباتی به اندازه کافی بزرگ انتخاب شده بود، مرزها بر جریان آب در دامنه تاثیری نمی گذارند. مرز پایینی بیانگر زهکشی آزاد و همچنین، مرز بالایی منعکس کننده اندازه تبخیر از سطح خاک (حالت بدون خاکپوش) و شرایط مرزی جریان صفر (وجود خاکپوش در سطح خاک) می باشد.

جهت تخمین فراسنجهای آبی خاک از روش حل معکوس در HYDRUS-2D استفاده شد. برای این منظور از درصدهای رطوبت، که به صورت وزنی با کاربرد متهی نمونه برداری در فواصل ۱۰، ۲۰، ۳۰، ۴۵ سانتی متر از قطره چکان و ۷ ژرفه متفاوت از قطره چکان واقع در ژرفه ۳۰ سانتی متری برداشت شده بود، جهت اجرای تحلیل معکوس استفاده گردید؛ مقادیر این فراسنجهای در جدول ۳ نشان داده شده اند.

شد. لوله های هادی دستگاه مطابق دستور العمل شرکت سازنده (دستورالعمل تخصصی دستگاه، ۱۹۹۸) در فواصل ۱۰، ۲۰، ۳۰، ۴۵ سانتی متر از قطره چکانها و تا ژرفای ۱۰۵ سانتی متری از سطح خاک نصب شدند. همچنین، قبل از انجام آزمایش منحنی واسنجی دستگاه در چندین نقطه بطور تصادفی از مزرعه آزمایشی با استفاده از نمونه های وزنی ترسیم شد. بر این اساس مقادیر درصدهای رطوبت حجمی در زمانهای ۱/۵-۳-۴/۵-۶ برساعت هنگام آبیاری، و به مدت ۴ روز بعد از اتمام آن، برداشت شدند.

در این تحقیق از نرم افزار HYDRUS-2D جهت شبیه سازی استفاده شد.

جهت شبیه سازی توزیع رطوبت، مستطیلی با عرض ۶۰ سانتی متر و ژرفای ۱۵۰ سانتی متر به عنوان محدوده توزیع رطوبت، و نیم دایره ای به شعاع ۱ سانتی متر به نمایندگی از قطره چکان واقع شده در ژرفای ۳۰ سانتی متری از سطح خاک به شبیه معرفی گردیدند. همچنین، با فرض این که الگوی رطوبت ایجاد شده در دو طرف قطره چکان متقارن است، فقط سمت راست نیمرخ شبیه سازی می شود. توزیع درصد رطوبت اولیه بر اساس درصد رطوبت نمونه ها قبل از انجام آبیاری تخمین زده شد. درصد حجمی رطوبت اولیه در جهت افقی یکنواخت و در

جدول ۱- برخی مشخصات فیزیکی و شیمیایی خاک منطقه ی مورد مطالعه

EC (ds/m)	pH	نسبت جذبی (SAR)	نقاطه ی پژمردگی سدیم ( SAR )	ظرفیت مزرعه ( درصد حجمی )	شن ( درصد )	لای ( درصد )	رس ( درصد )	عمق ( سانتیمتر )
۱/۷۲	۸/۰۷	۷/۰۳	۶/۶	۱۳/۲	۸۲	۸	۱۰	۰-۱۵
۳/۲۵	۷/۹۷	۷/۵	۷/۰۱	۱۵/۷۱	۸۲	۸	۱۰	۱۵-۳۰
۴/۲	۷/۸۵	۸/۶۲	۶/۴۸	۱۳/۹۶	۸۴	۶	۱۰	۳۰-۴۵
۵/۳	۷/۴۵	۸/۰۵	۶/۲۷	۱۵/۵۴	۸۴	۶	۱۰	۴۵-۶۰
۷/۳	۷/۳۰	۱۱/۱۵	۷/۲۵	۱۸/۱۲	۸۰	۱۰	۱۰	۶۰-۷۵
۶/۶۶	۷/۱۵	۱۱/۸۵	۷/۸۵	۱۷/۳۵	۸۰	۶	۱۴	۷۵-۹۰
۶/۱۵	۷/۱۴	۱۰/۸۷	۶/۵۳	۱۴/۱۵	۸۴	۱۰	۶	۹۰-۱۰۵

جدول ۲- نتایج آزمایش کیفی آب آبیاری

EC (ds/cm)	pH	کاتیونها (mg/lit)				آنیونها (mg/lit)		SAR	TDS (mg/lit)	طبقه بندی آب آبیاری
		Ca <sup>++</sup>	Mg <sup>++</sup>	Na <sup>+</sup>	HCO <sup>3-</sup>	SO <sub>4</sub> <sup>2-</sup>	Cl <sup>-</sup>	B <sup>-</sup>		
۰/۷۵	۷/۵	۱۲/۵	۳۰/۰۸	۱۵۰/۴۵	۱۸۰/۵۴	۱۲۶/۷۵	۱۱۰/۰۵	۰/۵	۵/۲۱	C۲-S۱

جدول ۳- فراسنجهای آبی تخمین زده از روش حل معکوس.

	Qr	Qs	Alpha	n	Ks	L
Inverse solution	۰/۰۳۱۴	۰/۳	۰/۰۲۳	۲	۲۰	۰/۵

## نتایج و بحث

### مقایسه‌ی رطوبت اندازه‌گیری شده و شبیه‌سازی

#### شده با کاربرد نرم افزار HYDRUS-2D

شکلهای ۱ و ۲ توزیعهای درصد رطوبت اندازه‌گیری شده و شبیه‌سازی شده را برای زمانهای ۶-۱/۵ ساعت هنگام آبیاری، و ۹۶ و ۲۴ ساعت پس از پایان آبیاری به ازاء بدھنده ۲ لیتر در ساعت نشان می‌دهند.

در شکل ۱ روند تغییرات درصد رطوبت به ازاء زمانهای مختلف و در فواصل ۲۰، ۳۰، ۱۰ سانتی‌متری از قطره‌چکان نشان داده شده است، در حالی که شکل ۲ برش عرضی انتخابی را در نیمرخ خاک، و در ژرفاهای ۱۵، ۴۵ سانتی‌متری از قطره‌چکان، نشان می‌دهد. از شکلهای رسم شده در فواصل و زمانهای مختلف می‌توان دریافت که برآنش خوبی بین درصدهای رطوبت پیش‌بینی شده و مشاهداتی وجود دارد؛ ژرفای و عرض ناحیه‌ی مرطوب تخمین زده به وسیله‌ی شبیه‌سازی با واقعیت مطابقت دارد، که شکلهای عرضی و ژرفای رسم شده نیز بیانگر این تطابق می‌باشند.

جهت مقایسه کمی بین درصدهای رطوبت پیش‌بینی شده و مشاهداتی، سه فراسنجه آماری R<sup>2</sup>, ME, RMSE مطابق جدول ۴ برای زمانهای مختلف محاسبه گردیدند. مقادیر ME در جدول ۴ نشان می‌دهند که HYDRUS-2D مقادیر درصد رطوبت را هنگام آبیاری و در ساعت بعد از آبیاری اندازی حد بالا تخمین زده است. مقادیر RMSE نیز از cm<sup>3</sup>/cm<sup>3</sup> (۰/۰۹۱-۰/۰۸۴) می‌باشند.

میزان انطباق شبیه‌سازیهای HYDRUS-2D با داده‌های اندازه‌گیری شده با سه فراسنجه آماری خطای میانگین (ME)، خطای متوسط مجذور مربعات (RMSE) و ضریب همبستگی (R<sup>2</sup>) بیان شد این فراسنجهای به وسیله‌ی ویل موت (۱۹۸۲) به صورت زیر تعریف شده‌اند:

$$ME = \frac{\sum_{i=1}^N (p_i - O_i)}{N} \quad (1)$$

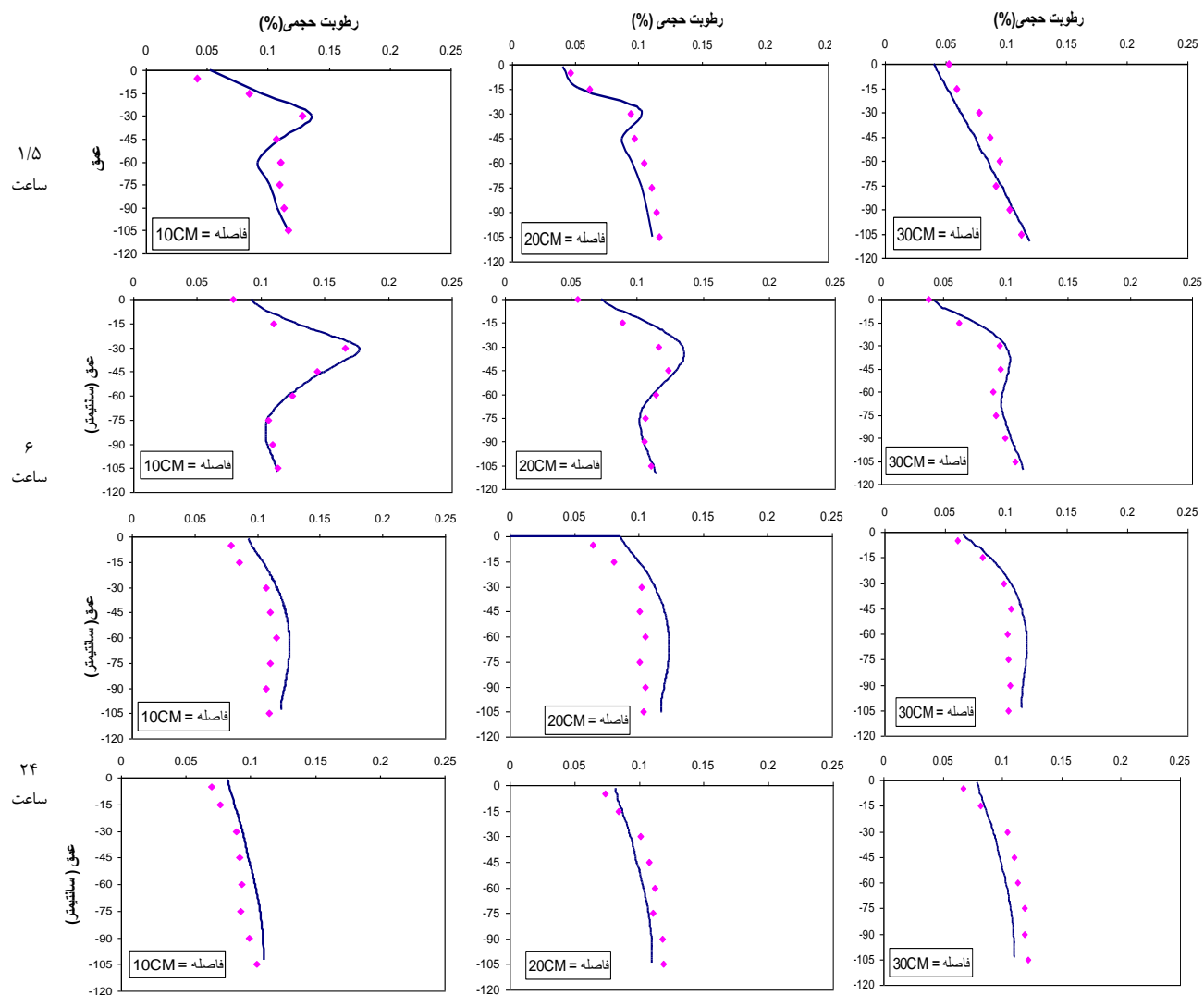
$$RMSE = \sqrt{\frac{\sum_{i=1}^N (p_i - O_i)^2}{N}} \quad (2)$$

$$R^2 = \sqrt{\frac{\sum_{i=1}^N (p_i - O_i)^2}{\sum_{i=1}^N (O_i - \bar{O})^2}} \quad (3)$$

که در آن: N کل داده‌ها یا اطلاعات، P<sub>i</sub> i امین نقطه‌ی داده شبیه‌سازی شده، O<sub>i</sub> آمین داده مشاهداتی، و  $\bar{O}$  میانگین داده‌های مشاهده شده می‌باشد. اندازه مثبت یا منفی ME به ترتیب دلالت بر تخمین حد بالا و حد پایین شبیه‌سازی نسبت به مقادیر مشاهداتی می‌کند.

دقیق شبیه سازیها برای همه زمانها رضایت بخش بود. ضریب همبستگی ( $R^2$ ) محاسبه شده برای تمام زمانها نیز بر برآذش خوب شبیه با مشاهدات تأکید کرد.

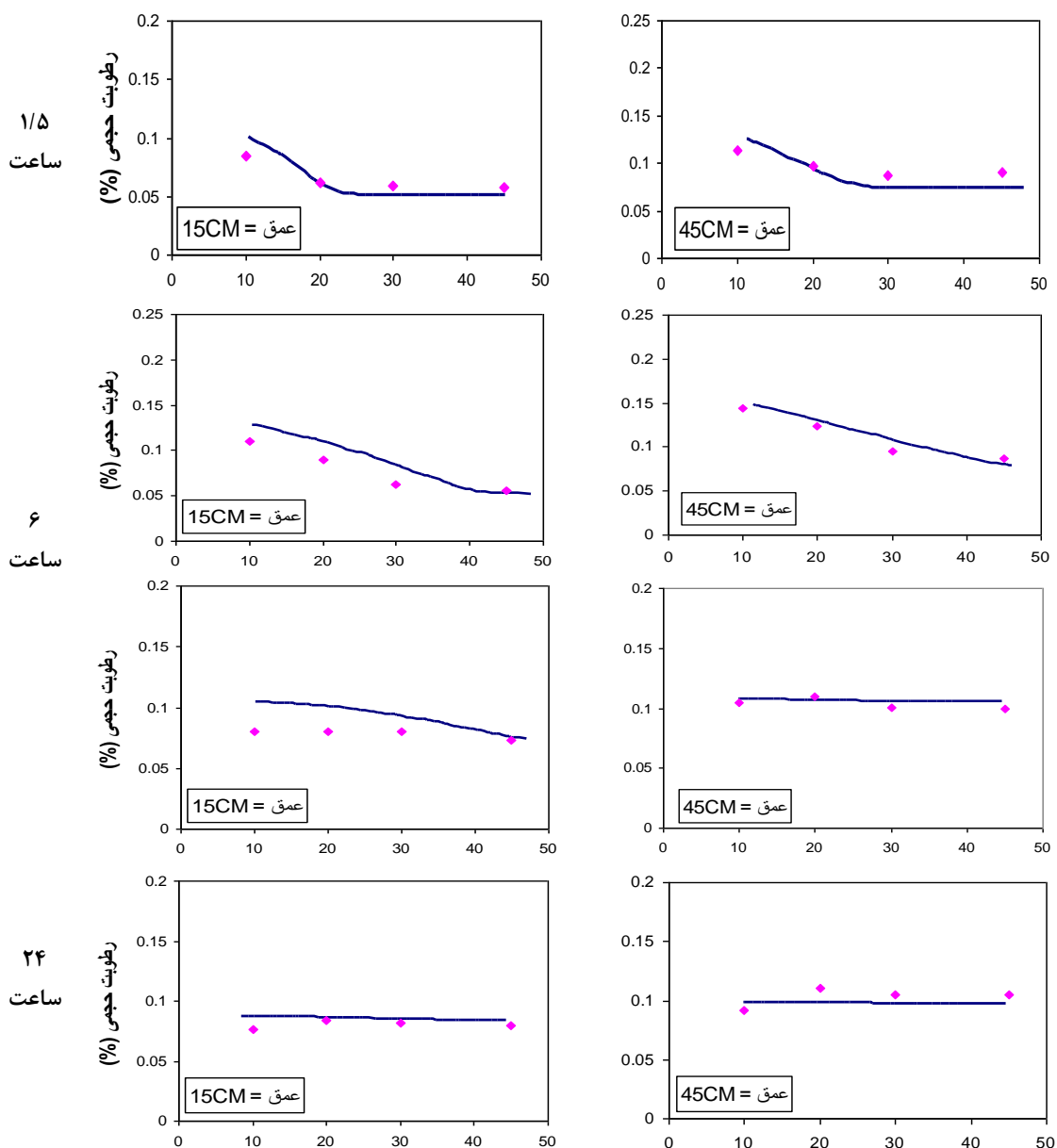
برای نمونه ها هنگام آبیاری، و از  $cm^3/cm^3$  ۰/۰۱۹۲) برای نمونه ها در روزهای بعد از آبیاری، تغییر می کند. که این اعداد، با اعداد به دست آمده از نتایج کندلوس و سیمونک (۲۰۱۰) مقایسه شد و نشان داد که



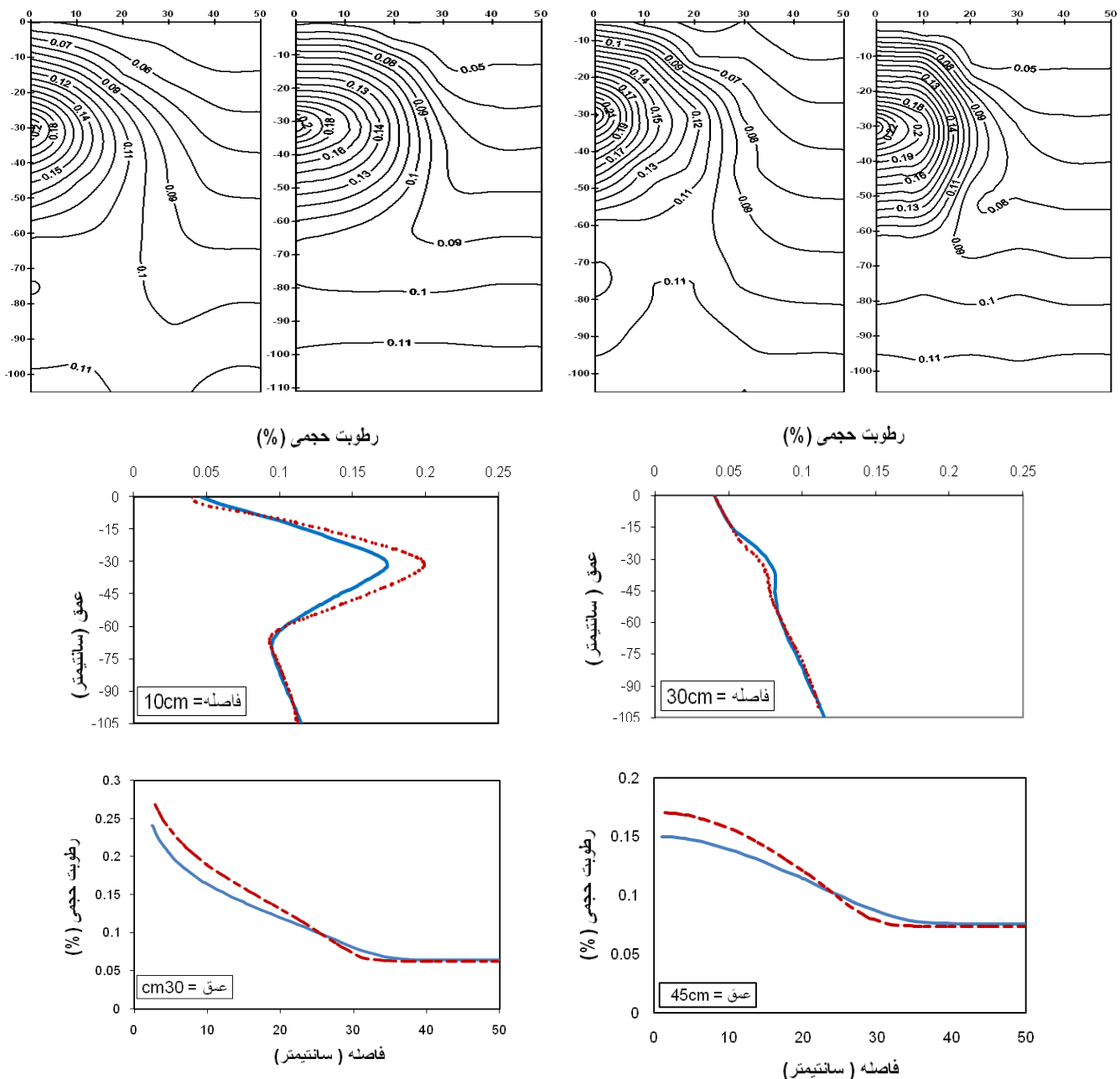
شکل ۱- مقایسه ای درصد های رطوبت شبیه سازی شده و مشاهداتی در زمانهای ۱/۵ و ۶ ساعت هنگام آبیاری، و ۲۴ و ۹۶ ساعت بعد از آبیاری (• مقادیر مشاهداتی، — مقادیر شبیه سازی شده).

جدول ۴- تحلیل آماری مقایسه ای اعداد اندازه گیری و شبیه سازی شده.

زمان (hr)	RMSE	ME	$R^2$
۱/۵	۰/۰۰۹۱	۰/۰۰۱۲	۰/۹۲
۶	۰/۰۰۸۴	۰/۰۰۵۴	۰/۹۴
۲۴	۰/۰۱۹۲	۰/۰۱۸۱	۰/۸۲
۹۶	۰/۰۰۹	۰/۰۰۸۵	۰/۹۳



شکل ۲- مقایسه‌ی درصد های رطوبت شبیه سازی و مشاهداتی در عمقهای ۱۵ و ۴۵ سانتیمتری، و در زمانهای ۱/۵ و ۶ ساعت هنگام آبیاری، و ۲۴ و ۹۶ ساعت بعد از آبیاری (• مقادیر مشاهداتی، — مقادیر شبیه سازی شده)



شکل ۳- مقایسه‌ی تأثیر بدهه بر الگوی رطوبت در فواصل ۱۰ و ۳۰ سانتیمتری از قطره چکان و ۴۵ سانتیمتری از سطح خاک (— بدهه ۲ لیتر بر ساعت، - - بدهه ۴ لیتر بر ساعت)

ژرفای خیس شدگی در زیر قطره چکان به ترتیب ۳۵ و ۳۱ سانتی متر، و ارتفاع گسترش رطوبت در بالای قطره چکان نیز به ترتیب ۲۲ و ۲۰ سانتی متر می‌باشد.

این داده‌ها با نتایج به دست آمده از مطالعات المالوگلو و دیامنتو (۲۰۰۹) و همچنین کوت و همکاران (۲۰۰۳) مطابقت داشت، اما با داده‌های به دست آمده از یافته‌های برسلر (۱۹۷۸) مبنی بر این که افزایش در بدء خروجی منتج به افزایش مؤلفه‌ی عمودی ناحیه‌ی خیس شده می‌گردد، همانگ نیست. این تفاوت ممکن است مربوط به بدئی به کار رفته بوسیله‌ی آنها (دامنه وسیعی از بدئی بین ۴-۲۰ لیتر بر ساعت) و ویژگیهای آبی خاک باشد؛ بنابراین، گسترش افقی رطوبت به ازاء بدئی کمتر ممکن است منجر به افزایش فاصله لوله‌های فرعی از یکدیگر و کمتر شدن هزینه نصب سامانه گردد. اما این نتیجه اشاره بر یک پیامد ممکن بر الگوی تجمع املاح بین ردیفهای کشت دارد، که می‌تواند بر الگوی به کار رفته برای شستشوی املاح نیز تأثیر گذار باشد.

بر این اساس، تعیین فاصله‌ی قطره چکانها و ژرفای کارگذاری لوله‌های فرعی بدون در نظر گرفتن الگوی توزیع رطوبت ایجاد شده اطراف قطره چکانها به ازاء بدئی مورد نظر، منطقی نیست.

### تأثیر میزان تبخیر بر الگوی رطوبت

تأثیر کاربرد خاکپوش پلاستیکی در سطح خاک بر کاهش اندازه تلفات آب از طریق تبخیر، و همچنین توزیع رطوبت در خاک در سه زمان (انتهای آبیاری، ۲۴ و ۹۶ ساعت پس از پایان آبیاری) در شکل ۴ نشان داده شده است. بر پایه‌ی مشاهده‌ها، مقدار تلفات آب از طریق تبخیر در انتهای زمان آبیاری بسیار اندک بود، و تأثیر خاکپوش بر توزیع رطوبت در این زمان ناچیز بود. اما با گذشت زمان ۲۴ تا ۹۶ ساعت از پایان آبیاری، تبخیر از سطح خاک رطوبت را تا ژرفای ۳۰ سانتی متری تحت تاثیر قرار می‌داد، که این روند تغییرات از سطح خاک به پایین حالت نزولی به خود می‌گیرد. نتایج حاصل از آزمایشهای صحرایی با تخمینهای نرم افزار HYDRUS-2D جهت بررسی توانایی آن در شبیه سازی توزیع رطوبت، با در نظر گرفتن وجود تبخیر از سطح خاک نیز مورد ارزیابی قرار گرفت (شکل ۴). از شکل ۴ واضح است که میزان رطوبت

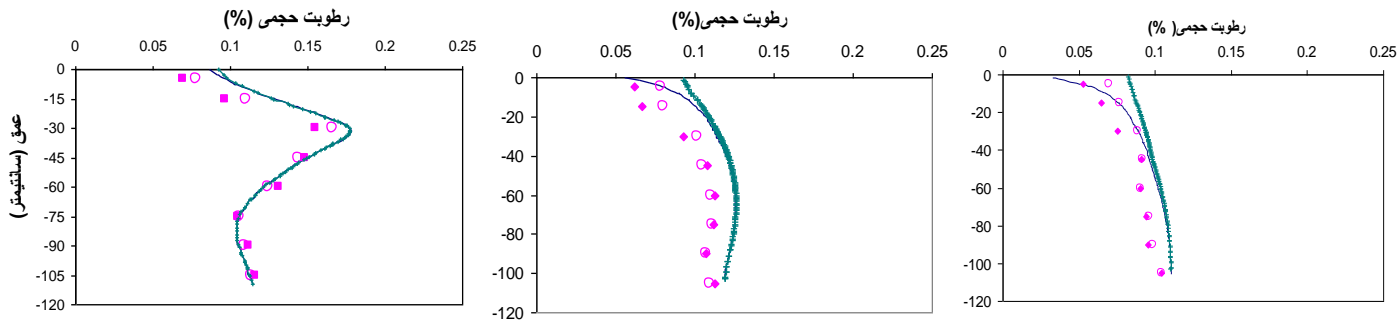
### تأثیر میزان خروجی قطره چکان بر الگوی رطوبت

توزیع‌های درصد رطوبت و نقشه‌های خطوط تراز برای دو قطره چکان با بدئهای ۲ و ۴ لیتر بر ساعت در شکل ۳ داده شده‌اند. جهت به کمیت در آوردن تأثیر مقدار خروجی قطره چکان بر الگوهای رطوبتی، شکل ۳ درصد رطوبت را به صورت تابعی از فاصله‌ی شعاعی در ژرافه‌های ۳۰ و ۴۵ سانتی متر، و تابعی از فاصله‌ی عمودی در فواصل ۱۰ و ۳۰ سانتی متری از قطره چکان به ازاء حجم ثابت ۶ لیتر به دست می‌دهد.

تفاوتهای اصلی در توزیع دو بعدی شبیه‌سازی شده از درصد رطوبت در پایان آب آبیاری برای هر دو بدء مربوط به میزان گسترش ناحیه رطوبتی ایجاد شده می‌باشد. افزایش بدء فقط بر درصد رطوبت نقاط نزدیک به اطراف قطره چکان گردید؛ این در حالی است که درصد رطوبت این نقاط با کاهش بدء کاستی یافته و ناحیه‌ی اشباع در اطراف قطره چکان به ازاء این مقدار بدء به وجود نیامده است. از سویی، طبق رابطه  $V_t = Qt$ ، وقتی که از اندازه ثابت آب آبیاری استفاده می‌شود اندازه  $V$  ثابت است و بنابراین باید اندازه  $Qt$  نیز ثابت بماند. با کاهش بدءی قطره چکان ( $Q$ ) برای ثابت ماندن حجم باید زمان ( $T$ ) افزایش یابد. بر این اساس، قطره چکان با بدئی ۴ لیتر بر ساعت باید حجم آبیاری ۶ لیتر را در زمان کوتاه ۱/۵ ساعت به خاک تحويل دهد؛ در نتیجه، آب نمی‌تواند با سرعتی بسندن به خاک مجاور نفوذ کند؛ بنابراین، اطراف قطره چکان جمع شده و ناحیه‌ی تقریباً اشباعی را ایجاد می‌کند. این در حالی است که قطره چکان با بدئی کمتر همان اندازه آب را در بازه‌ی زمانی بیشتر ۳ ساعت به خاک تحويل می‌دهد، بنابراین، به خوبی در خاک نفوذ کرده و اجزاهی پخش عمودی و افقی رطوبت در منطقه‌ی خیس شده داده می‌شود، البته با درصد رطوبت پایینتر. بنابراین، زمانی که میزان خروجی کاهش می‌یابد، گسترش جبهه رطوبت در تمامی جهات فزونی می‌گیرد. این مطلب در نمودارهای موجود در شکل ۳ نیز مشهود است، به طوری که در حجم ثابت ۶ لیتر، شعاع خیس شدگی به ازاء بدئی ۲ و ۴ لیتر به ترتیب ۳۶ و ۳۴ سانتی متر،

رطوبت در خاک به دلیل آبیاری چند روز قبل افزایش یافته بود، مشهودتر است. رطوبت به صورت یکنواخت در خاک انتشار یافته، و اگر سطح خاک بدون پوشش باشد، به دلیل اختلاف مکش ایجاد شده در سطح، و عمق کارگزاری قطره چکانها که بیشترین رطوبت را دارا می باشند، مقادیر قابل توجهی از رطوبت به سمت بالا و سطح خاک حرکت کرده و به صورت تبخیر از ناحیه ریشه خارج می گردد. بنابراین کاربرد خاکپوش پلاستیکی بر سطح خاک می تواند موجب نگهداشت رطوبت و توزیع یکنواخت تر رطوبت گردد.

خاک برآورد شده با کاربرد شبیه مشابه شرایط واقعی حاکم در مزرعه در دو حالت خاکپوش و بدون آن (با تبخیر و بدون تبخیر) می باشد. شبیه نیز همانند شرایط موجود در مزرعه، بر میزان هدر رفت رطوبت از سطح خاک تا عمق ۳۰ سانتی متری، در شرایطی که سطح خاک بدون پوشش می باشد، اشاره دارد. توزیع مجدد رطوبت منجر به حرکت رطوبت در جهات مختلف در خاک می گردد، که این حرکت به سطح خاک نیز قابل توجه است، لذا، در خاکهای درشت بافت نیز مقادیری از رطوبت موجود در خاک به سمت سطح خاک حرکت کرده و بخار می گردد. این مطلب در روزهای ابتدایی پس از آبیاری، که در صد



شکل ۴ - مقایسه‌ی تاثیر خاکپوش بر الگوی رطوبت به ازاء کاربرد بدء ۲ لیتر بر ساعت (شبیه با خاکپوش +، مشاهده بدون خاکپوش ■، مشاهده با خاکپوش ○. مدل بدون مالج —)

کاهش سرعت حرکت آب در خاک شد. در حالی که کاهش بدء (بدءی ۲ لیتر بر ساعت) علاوه بر این که ناحیه مرطوب بزرگتری را در اطراف قطره چکان ایجاد می کند، منجر به توزیع یکنواخت تر رطوبت در خاک می گردد، که با افزایش فاصله‌ی لوله‌های فرعی کمک به کاهش هزینه‌های نصب سامانه خواهد کرد. تاثیر وجود خاکپوش در سطح خاک در حین آبیاری بر الگوی توزیع رطوبت در خاک بسیار ناچیز است، اما پس از آبیاری می تواند هدر رفتن رطوبت موجود را حداقل تا عمق ۳۰ سانتی متری از سطح خاک، بکاهد. خاکپوش با ثابت نگه داشتن تغییرات رطوبت در لایه‌های سطحی، کاهش اختلاف توان نقاط را بین سطح و زرفا خاک موجب می گردد.

## نتیجه گیری

در این تحقیق دقت شبیه‌سازی نرم‌افزار HYDRUS-2D در برآورد حرکت و توزیع رطوبت تحت سامانه‌ی آبیاری قطره ای زیر سطحی در یک خاک شنی ارزیابی شد. همچنین، چگونگی تاثیر فراسنجهای مختلف، همچون مقادیر آبدهی قطره چکانها و کاربرد خاکپوش به عنوان متغیرهای تاثیر گذار بر الگوی رطوبتی مورد بررسی قرار گرفت. نتایج نشان دادند که:

- ۱- توزیع رطوبت پیش‌بینی شده با کاربرد نرم افزار HYDRUS-2D برآش خوبی با داده‌های اندازه گیری شده در شرایط مزرعه دارد ( $R^2 = 0.92$ ).
- ۲- افزایش آبدهی قطره چکانها (۴ لیتر بر ساعت) منجر به ایجاد ناحیه‌ی تقریباً اشباعی در اطراف قطره چکان، و

**References:**

1. Abouzeid, G., Watanabe, K., Ashour, M., Ali, N. and Mohamed, A. 1997. Two-dimensional radial flow pattern under trickle irrigation subjected to evaporation. *Annual Journal of Hydraulic Engineering.* 41:61-66.
2. Acar, B., Topak, R. and Mikailsoy, F. 2009. Effect of applied water and discharge rate on wetted soil volume in loam or clay-loam soil from an irrigated trickle source. *African Journal of Agricultural Research.* 4: 049-054.
3. Assouline, S. 2002. The effects of micro drip and conventional drip irrigation on water distribution and uptake. *J. S.S.A.* 66:1630-1636.
4. Bresler, E. 1978. Analysis of trickle irrigation with application to design problems. *J. Irrig. Sci.* 1: 3–17.
5. Cook, F.J., Fitch, P., Thorburn, P.J., Charlesworth, P.B. and Bristow, K.L. 2006. Modeling trickle irrigation: comparison of analytical and numerical models for estimation of wetting front position with time. *Environmental modeling & software.* 21: 1353-1359.
6. Cote, C.M., Bristow, K.L., Charlesworth, P.B., Cook, F.L. and thorburn, P.J. 2003. Analysis of soil wating and solute transport in subsurface trickle irrigation. *J. Irrig. Sci.* 22: 143-156.
7. Elmaloglou, S.r. and Diamantopoulos, E. 2009. Simulation of soil water dynamics under subsurface drip irrigation from line source. *J. Agri. water Manag.* 96: 1587-1595.
8. IMKO Company. 1998. User's Manual, moisture measuring systems for soil science.1-24.
9. Kandelous, M.M. and Simunek, J. 2010a. Numerical simulations of water movement in a subsurface drip irrigation system under field and laboratory conditions using HYDRUS-2D. *J. AgrI. water Manag.* 97: 1070-1076.
10. Kandelous, M.M. and Simunek, J. 2010b. Comparison of numerical, analytical, and empirical modelsto estimate wetting patterns for surface and subsurface drip irrigation. *J. Irrig. Sci.* 971070-1076.
11. Lazarovitch, N., Simunek, J. and Shani, V. 2005. System- dependent boundary condition for water flow from subsurface source. *J. Soil. Soc. Am.* 69: 46-50.
12. Patel, N., and Rujput, T.B.S. 2008. Dynamics and modeling of soil water under subsurface drip irrigated onion. *J. Agri. water Manag.* 95: 1335-1349.
13. Provenzano, G. 2007. Using HYDRUS-2D Simulation model to evaluate wetted soil volume in subsurface drip irrigation systems. *J. Irrig. and Drain.* 133: 342-349.
14. Simunek, J., Van Genuchten, M.T. and Sejna, M. 2008. Modeling subsurface water flow and solute transport with HYDRUS and related numerical software packages. *Numerical Modeling of Hydrodynamics for Water Resources-Garcia- Navarro & Playan.* 95-115.
15. Simunek, J., Sejna, M. and Van Genuchten, M.T. 1999. The HYDRUS-2D software package for simulating two-dimensional movement of water, heat and multiple solutes in variably saturated media. Version 2.0. Rep. IGCWMC-TPS-53, p 251, Int, Ground Water Model. Cent., Colo. Sch. of Mines, Golden,CO.
16. Siyal, A.A. and skaggs, T.H. 2009. Measured and simulation soil wetting patterns under porous clay pipe sub-surface irrigation. *J. Agri. Water Manag.* 96: 893-904.
17. Skaggs, T.H., Trout, T.J., Simunek, J. and Shouse, P.J. 2004. Comparison of HYDRUS- 2D simulation of drip

- irrigation with experimental observations. *J. Irri. Drain. Eng.* 4: 304-310.
18. Willmott, C.J. 1982. Some comments on the evaluation of model performance, *Bull. Am. Meteorol. Soc.* 63:1309–1313.